

# МАТЕМАТИЧЕСКОЕ МОДЕЛИРОВАНИЕ, ЧИСЛЕННЫЕ МЕТОДЫ И КОМПЛЕКСЫ ПРОГРАММ

УДК 19.87:621.5

## ИЗМЕНЕНИЕ ИНТЕГРАЛЬНЫХ ХАРАКТЕРИСТИК ТЕЧЕНИЯ ЖИДКОСТИ В ВИХРЕВОМ АКСИАЛЬНОМ ТЕПЛОГЕНЕРАТОРЕ

**Климок В.И.**

Кафедра вычислительной математики

---

*Поступила в редакцию 08.10.2016, после переработки 21.10.2016.*

---

Математическая модель аксиального теплогенератора основана на уравнениях Навье-Стокса, записанных в цилиндрической системе координат в предположении осевой симметрии. Результаты численных экспериментов по расчету полей течений пассивного аксиального теплогенератора указывают на существенную неравномерность изменения гидродинамических характеристик течения, осредненных по поперечному сечению.

**Ключевые слова:** численный эксперимент, интегральные характеристики, вихревой теплогенератор, пассивный аксиальный.

*Вестник ТвГУ. Серия: Прикладная математика. 2016. № 4. С. 35–44.*

### Введение

Как известно из экспериментальных исследований вихревые теплогенераторы имеют высокий коэффициент полезного действия. Они предназначены для получения горячей воды путем преобразования энергии закрученного потока жидкости в тепло и представляют большой интерес для народного хозяйства как альтернативный экологически чистый источник тепловой энергии. Обзор патентов и систематизация конструкций гидродинамических теплогенераторов имеются, например, в [1]. Кроме экспериментальных испытаний конкретных установок весьма интересны и чисто теоретические исследования, касающиеся гидродинамики и внутреннего тепловыделения закрученных потоков жидкости.

Результаты исследований гидротермодинамического режима вихревого пассивного *тангенциального* теплогенератора изложены в работах [2], [3] и [4]. В статье [5] обсуждаются результаты математического моделирования полей течений в пассивном *аксиальном* теплогенераторе. К пассивным, по классификации [1], отнесены теплогенераторы статического типа, не содержащие подвижных частей в устройстве, где формируется поток жидкости. Данная работа является естественным продолжением исследований, изложенных в [5].

## 1. Постановка задачи

**Аксиальный** теплогенератор представляет трубу со сложной внутренней конфигурацией, способствующей генерации тороидальных вихрей [5]. В связи с этим математическая модель основана на уравнениях гидромеханики вязкой несжимаемой жидкости, записанных в цилиндрической ортогональной системе координат  $r, \vartheta, x$  [6] в приближении осевой симметрии (т.е. все функции не зависят от угла  $\vartheta$ ). Кроме того предполагаем, что течение не закручено вокруг оси трубы как в тангенциальном теплогенераторе, т.е. считаем равной нулю окружную (азимутальную) составляющую скорости, характеризующую закрутку течения в трубе.

После исключения составляющих градиента давления из уравнений для осевой  $u$  и радиальной  $v$  составляющих скорости приходим к системе уравнений [5] относительно функций  $\tilde{\xi}(x, r, t)$  и  $\psi(x, r)$

$$\frac{\partial \tilde{\xi}}{\partial t} - \frac{1}{r} \left( \frac{\partial \tilde{\xi}}{\partial x} \frac{\partial \psi}{\partial r} - \frac{\partial \tilde{\xi}}{\partial r} \frac{\partial \psi}{\partial x} \right) = \nu \left[ \frac{1}{r^3} \frac{\partial}{\partial r} \left( r^3 \frac{\partial \tilde{\xi}}{\partial r} \right) + \frac{\partial^2 \tilde{\xi}}{\partial x^2} \right], \quad (1)$$

$$\frac{\partial}{\partial x} \left( \frac{1}{r} \frac{\partial \psi}{\partial x} \right) + \frac{\partial}{\partial r} \left( \frac{1}{r} \frac{\partial \psi}{\partial r} \right) = \tilde{\xi} r, \quad (2)$$

с учетом обозначения  $\tilde{\xi} = \xi/r$ . Здесь  $\xi = \frac{\partial v}{\partial x} - \frac{\partial u}{\partial r}$  – азимутальная компонента завихренности,  $\nu$  – кинематический коэффициент вязкости, а компоненты скорости  $u$  и  $v$  связаны с функцией тока  $\psi(x, r)$  соотношениями

$$u = -\frac{1}{r} \frac{\partial \psi}{\partial r}, \quad v = \frac{1}{r} \frac{\partial \psi}{\partial x}. \quad (3)$$

Итак, для расчета полей течений аксиального вихревого теплогенератора использовались уравнения (1), (2) и соотношения (3).

Давление жидкости  $P(x, r)$  внутри теплогенератора находилось из уравнения

$$\frac{\partial}{\partial x} \left( r \frac{\partial P}{\partial x} \right) + \frac{\partial}{\partial r} \left( r \frac{\partial P}{\partial r} \right) = -2\rho r \left[ \left( \frac{\partial u}{\partial x} + \frac{\partial v}{\partial r} \right)^2 + \frac{\partial v}{\partial x} \frac{\partial u}{\partial r} - \frac{\partial v}{\partial r} \frac{\partial u}{\partial x} \right], \quad (4)$$

которое получено комбинацией уравнений для осевой и радиальной составляющих скорости с уравнением неразрывности.

## 2. Результаты расчета полей течений аксиального вихревого теплогенератора

При конечно-разностной аппроксимации уравнения для функции  $\tilde{\xi}$  использовалась схема «естественного фильтра» по времени и монотонная консервативно-диссипативная схема второго порядка точности по пространственным переменным. Значения рассчитываемых величин определялись в узлах «сдвинутой» разностной сетки. Задание граничных условий, начального приближения и порядок вычислений подробно описаны в [5]. Там же имеется и вид пространственной сетки, в узлах которой находились искомые неизвестные.

Так как течение предполагается осесимметричным, то достаточно представить результаты в какой-либо меридиональной плоскости (проходящей через ось симметрии  $x$ ) и рассматривать не всю конфигурацию сечения теплогенератора этой плоскостью, а ее половину, ограниченную осью симметрии и стенкой. Значения входных параметров следующие: расход  $Q = 8 \cdot 10^{-3} \text{ м}^3/\text{с}$ , радиус трубы во входном сечении  $R = 0,024 \text{ м}$ , кинематический коэффициент вязкости  $\nu = 10^{-5} \text{ м}^2/\text{с}$ , шаг по времени  $\tau = 5 \cdot 10^{-3} \text{ с}$ , длина трубы  $L = 0,243 \text{ м}$ , давление на входе в теплогенератор  $P_0 = 350 \text{ кПа}$ , шаги по пространственным координатам  $h_x = h_r = 1,5 \cdot 10^{-3} \text{ м}$ .

Интегрирование уравнений, описывающих гидродинамический режим вихревого генератора, было выполнено на полторы секунды модельного времени. За это время в теплогенераторе устанавливается квазистационарный режим течения, что хорошо видно из Рис. 1 и 2.

Рис. 1 иллюстрирует изменение по времени средней по объему кинетической энергии  $K(t) = \frac{\int_0^L dx \int_0^{R(x)} (u^2 + v^2) r dr}{\int_0^L R^2(x) dx}$  ( $\text{м}^2/\text{с}^2$ ) жидкости, находящейся в теплогенераторе, где  $R(x)$  – функция, описывающая изменение внутреннего радиуса.

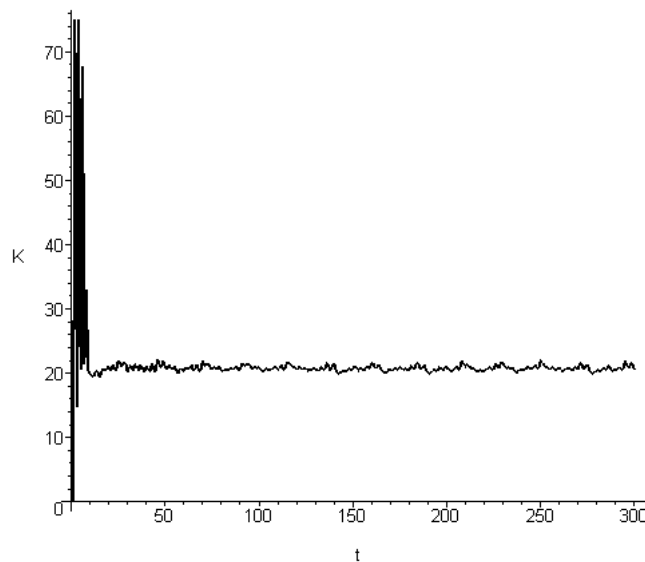


Рис. 1: Изменение кинетической энергии со временем

На Рис. 2 приведено изменение со временем минимального значения функции тока  $\min_{x,r} \psi(x, r, t)$  ( $\text{м}^3/\text{с}$ ).

В связи с тем, что протекающий процесс нестационарен все значения гидродинамических характеристик, получаемые во время расчета, усреднялись по времени соответствующему интегрированию уравнений на 300 шагов.

Из Рис. 3 нетрудно представить конструкцию аксиального теплогенератора. В данном случае он имеет семь резко сужающихся и шесть резко расширяющихся участков сечения цилиндра, последние в дальнейшем будем называть впадинами.

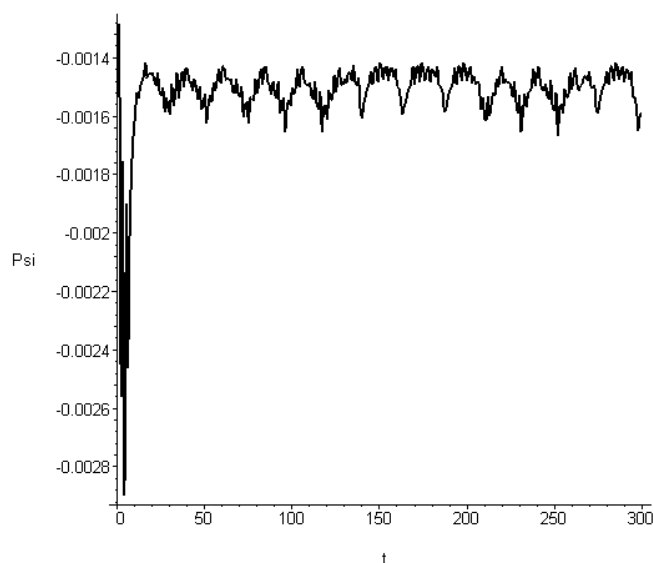


Рис. 2: Изменение наименьшего значения функции тока со временем

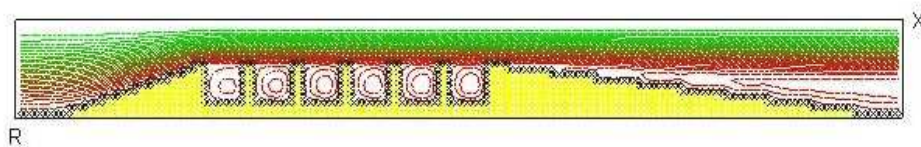


Рис. 3: Изолинии функции тока  $\psi$

До первого препятствия внутренний радиус цилиндра постепенно уменьшается, а после последнего – постепенно увеличивается, то есть имеются конфузур и диффузор.

Изолинии функции тока (Рис. 3), характеризующие поле течений, указывают на появление между препятствиями вихрей примерно одинаковой интенсивности, вращающихся по направлению часовой стрелки. В окрестности стенки диффузора осуществляется подток жидкости из емкости, в которую подается вода из теплогенератора. Заметим, что и в тангенциальном теплогенераторе происходит подсос жидкости из емкости, в которую она попадает из теплогенератора, но только в окрестности его оси [3], [4].

На Рис. 4 приведен график изменения вдоль оси радиальной составляющей скорости  $V(x) = \frac{2}{R^2(x)} \int_0^{R(x)} v r dr$ , усредненной по сечению перпендикулярному оси трубы. Обращает на себя внимание тот факт, что увеличение радиальной составляющей скорости в диффузоре перед первым препятствием и уменьшение ее в конфузуре после последнего препятствия происходит неравномерно.

При отсутствии диффузора и конфузур график функции  $V(x)$  на указанных

участках теплогенератора представляет собой гладкую кривую. Средняя в поперечном сечении радиальная составляющая скорости направлена к оси цилиндра до первого препятствия и от нее после последнего. Над препятствиями поведение функции  $V(x)$  вполне аналогично поведению, приведенному на Рис. 4.

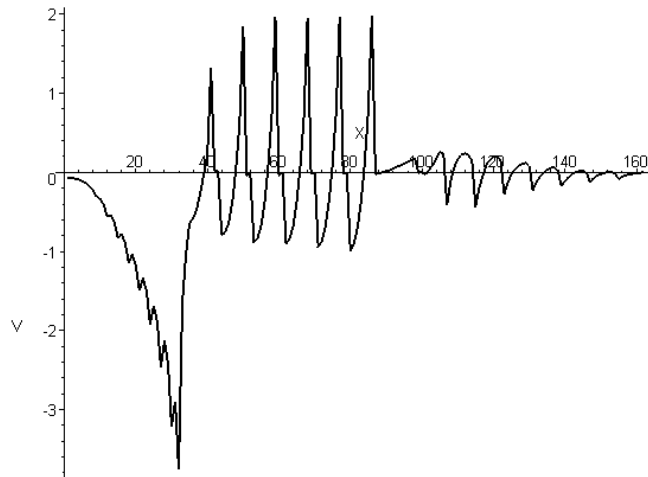


Рис. 4: Радиальная составляющая вектора скорости, осредненная по поперечному сечению трубы

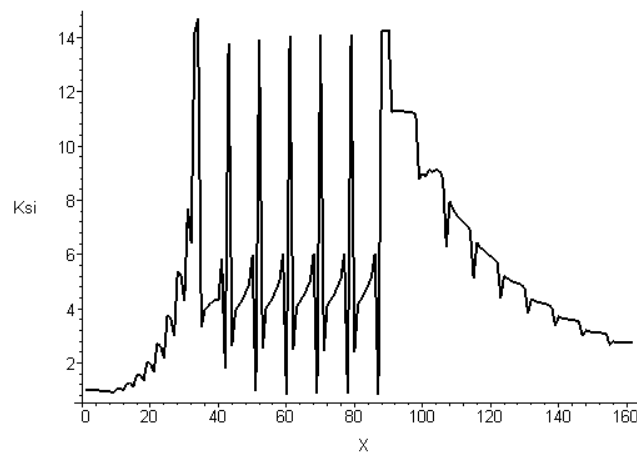


Рис. 5: Изменение осредненной по поперечному сечению функции  $\tilde{\xi}(x)$  вдоль теплогенератора

Это замечание касается и графика функции  $\bar{\xi}(x)/\tilde{\xi}_0$  (Рис. 5), отражающего поведение вдоль теплогенератора, осредненного по поперечному сечению, «вих-

ря»  $\tilde{\xi}(x) = \frac{2}{R^2(x)} \int_0^{R(x)} \tilde{\xi} r dr$ . При отсутствии диффузора и конфузора до первого препятствия и после последнего препятствия вихрь принимает практически постоянные, но разные, значения. Перед первым препятствием значение функции  $\tilde{\xi}(x)$  резко возрастает, а после последнего – резко убывает. Над препятствиями и во впадинах поведение графика функции  $\tilde{\xi}(x)$  аналогично, приведенному графику на Рис. 5, хотя и имеются количественные отличия. Наибольшие значения вихрь достигает над препятствиями, что обусловлено большими значениями осевой составляющей скорости и условием прилипания жидкости на твердой стенке. Из Рис. 5 видно, что над препятствиями значение  $\tilde{\xi}(x)/\tilde{\xi}_0$  почти в 15 раз превышает значение  $\tilde{\xi}(0)/\tilde{\xi}_0$ .

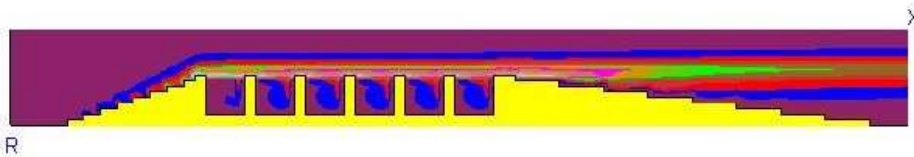


Рис. 6: Изолинии функции  $\tilde{\xi} = \xi/r$

Итак, завихренность наиболее интенсивна непосредственно над препятствиями. После них она переносится вниз по потоку и, кроме того, генерируется на стенке диффузора. Как известно, течение в трубе кругового сечения под действием разности давления на концах трубы описывается параболой Пуазейля  $u(0, r) = \frac{2Q}{\pi R^2} \left(1 - \frac{r^2}{R^2}\right)$ . Следовательно, если внутри трубы нет препятствий, то завихренность  $\xi = \frac{4Q}{\pi R^4} r$  линейно зависит от радиуса, а функция  $\tilde{\xi} = \frac{\xi}{r} = \tilde{\xi}_0 = \frac{4Q}{\pi R^4}$  постоянна. Здесь  $R = R(0)$  – внутренний радиус во входном сечении теплогенератора. При наличии препятствий внутри трубы функция  $\tilde{\xi}$  уже не является постоянной величиной, что и иллюстрирует Рис. 6, на котором изображены линии постоянной «завихренности».

Рис. 7 характеризует поведение давления вдоль оси генератора (сплошная линия) и в окрестности препятствий. На нем представлены графики функции  $P(x, r)/P_0$  при значениях  $r \approx 0$  и  $r \approx 0,4R$ . Из графиков видно, что давление мало меняется вдоль радиуса за исключением участка трубы, где имеются препятствия.

## Заключение

Таким образом, результаты численных экспериментов по расчету гидродинамических характеристик течения в трубе с резко изменяющимся внутренним радиусом указывают на их существенную неравномерность вдоль оси. Особенно хорошо это прослеживается на изменении интегральных характеристиках течения, т.е. на графиках функций гидродинамических величин, осредненных по поперечному сечению.

В плане дальнейших исследований, с точки зрения математического моделирования, представляет интерес не только расчет полей течений, возникающих в

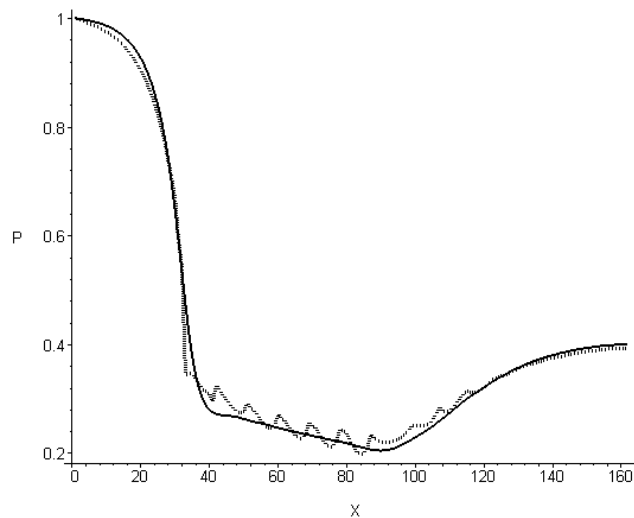


Рис. 7: Распределение давления в окрестности оси и в окрестности препятствий

генераторе, но и расчет тепловыделения за счет преобразования энергии закрученного потока жидкости, в данном случае тороидальных вихрей, в тепло. А также изучение влияния размеров и количества препятствий внутри трубы и наличия конфузора и диффузора на скорость нагрева жидкости.

#### Список литературы

- [1] Фурмаков Е.Ф. Могут ли гидротермодинамические теплогенераторы работать сверхэффективно? СПб: ОАО «Техприбор», 2004. 22 с.
- [2] Ахметов Ю.М., Калимуллин Р.Р., Целищев В.А. Численное и физическое моделирование течения жидкости в вихревом теплогенераторе // Вестник Уфимского государственного авиационного технического университета. 2010. Т. 14, № 4 (39). С. 42–49.
- [3] Климок В.И., Рубцов И.Ю. Математическое моделирование гидродинамического режима теплового вихрегенератора // Вестник ТвГУ. Серия: Прикладная математика. 2010. № 19. С. 21–27.
- [4] Климок В.И., Рубцов И.Ю. Математическое моделирование гидротермодинамического режима теплового вихрегенератора // Вестник ТвГУ. Серия: Прикладная математика. 2012. № 1 (24). С. 25–36.
- [5] Климок В.И. Численное моделирование течения жидкости в вихревом аксиальном теплогенераторе // Вестник ТвГУ. Серия: Прикладная математика. 2015. № 3. С. 5–13.
- [6] Кочин Н.Е., Кибель И.А., Розе Н.В. Теоретическая гидромеханика. Ч. 2. М.: Иностранная литература, 1963.

**Библиографическая ссылка**

Климок В.И. Изменение интегральных характеристик течения жидкости в вихревом аксиальном теплогенераторе // Вестник ТвГУ. Серия: Прикладная математика. 2016. № 4. С. 35–44.

**Сведения об авторах****1. Климок Виктор Иванович**

профессор кафедры вычислительной математики Тверского государственного университета.

*Россия, 170100, г. Тверь, ул. Желябова, д. 33, ТвГУ.*



## CHANGE OF THE INTEGRAL CHARACTERISTICS OF THE FLUID FLOW IN THE AXIAL VORTEX HEAT GENERATOR

**Klimok Viktor Ivanovich**

Professor at Computational Mathematics department, Tver State University.  
*Russia, 170100, Tver, 33 Zhelyabova str., TSU.*

---

*Received 08.10.2016, revised 21.10.2016.*

---

Mathematical model of axial heat generator based on the Navier-Stokes equations, written in cylindrical coordinates in the approximation of axial symmetry. The results of numerical experiments on the calculation of flow fields passive axial heat generator indicate a significant change in the unevenness of the hydrodynamic characteristics of the flow, averaged over the cross section.

**Keywords:** numerical experiment, integral characteristics, vortex heat generator, passive axial.

### Bibliographic citation

Klimok V.I. Change of the integral characteristics of the fluid flow in the axial vortex heat generator. *Vestnik TvGU. Seriya: Prikladnaya matematika* [Herald of Tver State University. Series: Applied Mathematics], 2016, no. 4, pp. 35–44. (in Russian)

### References

- [1] Furmakov E.F. Mogut li Gidrotermodynamicheskie Teplogeneratory Rabotat' Sverkh-effektivno? [Can Hydrothermodynamic Heat Generators Work Super-Efficiently?] Spb, Tehpribor JSC Publ., 2004. 22 p. (in Russian)
- [2] Akhmetov Yu.M., Kalimullin R.R., Tselishchev V.A. Numerical and physical modeling of fluid flow in the vortex heat generator. *Vestnik Ufimskogo gosudarstvennogo aviatsionnogo tekhnicheskogo universiteta* [Herald of Ufa State Aviation Technical University], 2010, vol. 14, no. 4 (39), pp. 42–49. (in Russian)
- [3] Klimok V.I., Rubtsov I.Yu. Mathematical modeling of hydrodynamic mode in thermal vortex generator. *Vestnik TvGU. Seriya: Prikladnaya matematika* [Herald of Tver State University. Series: Applied Mathematics], 2010, no. 19, pp. 21–27. (in Russian)
- [4] Klimok V.I., Rubtsov I.Yu. Mathematical modeling of hydrothermodynamic mode in thermal vortex generator. *Vestnik TvGU. Seriya: Prikladnaya matematika* [Herald of Tver State University. Series: Applied Mathematics], 2012, no. 1 (24), pp. 25–36. (in Russian)

- 
- [5] Klimok V.I. Numerical simulation of fluid flow in vortex axial heat generator. *Vestnik Tver State University. Series: Applied Mathematics*, 2015, no. 3, pp. 5–13. (in Russian)
- [6] Kochin N.E., Kibel' I.A., Roze N.V. *Teoreticheskaya Gidromekhanika* [Theoretical Hydromechanics]. Moscow, Inostrannaya literatura Publ., 1963. (in Russian)